

## طراحی بهینه مقطع کanal بتنی برای حداقل کردن هزینه تلفات آب، پوشش و عملیات خاکی

محمود محمد رضابور طبری<sup>۱\*</sup>، شیوا توکلی<sup>۲</sup> و محسن مزکماری<sup>۳</sup>

### چکیده

طراحی مقطع کanal با کمترین هزینه شامل کمینه کردن مجموع هزینه‌های هر متر از طول کanal تحت شرایط جریان یکنواخت است. این هزینه‌ها شامل هزینه‌های مریوط به پوشش هر متر از طول کanal، هزینه هر متر مکعب عملیات خاکی و هزینه مرتبط با تلفات آب (شامل تلفات نشت و تبخیر) هستند که به عنوان تابع هدف در این بررسی در نظر گرفته شده است. تلفات نشت به هندسه کanal و تلفات تبخیر از سطح آزاد آب بستگی دارد. در این بررسی از معادله مانینگ به عنوان قید اصلی مسئله استفاده شده است. علاوه بر این قید، در طراحی مقطع بهینه کanal‌ها از دو قید فرعی شامل حداقل سرعت مجاز و عدد فروود، استفاده شده است. برای بهینه‌سازی ابعاد کanal، از الگوریتم بهینه‌سازی مبتنی بر جستجوی مستقیم استفاده شد. با استخراج نتایج مدل بهینه‌سازی در قالب نمودارهای بی‌بعد، امکان طراحی ساده ابعاد بهینه کanal در جهت حداقل کردن هزینه‌های هر متر از طول کanal فراهم می‌شود. با بررسی نتایج این پژوهش می‌توان دریافت که کanal ذوزنقه‌ای با دبی مشخص در شب جانبی ۰/۷۵ دارای بیشترین و در شب جانبی ۱/۵ دارای کمترین عمق نرمال است. همچنین در طراحی بهینه کanal مثلثی، عمق نرمال کanal در شب‌های جانبی بیشتر دارای مقدار کمتری است در حالیکه عرض سطح آب در این حالت افزایش می‌یابد.

**واژه‌های کلیدی:** بهینه‌سازی، تابع هزینه، تلفات آب، کanal بتنی، معادله مانینگ.

ارجاع: محمد رضابور طبری م. توکلی ش. و مزکماری م. ۱۳۹۴. طراحی بهینه مقطع کanal بتنی برای حداقل کردن هزینه تلفات آب، پوشش و عملیات خاکی. مجله پژوهش آب ایران. ۱۱:۱۷-۲۲.

۱- استادیار گروه عمران، دانشکده فنی و مهندسی، دانشگاه شهرکرد.  
۲- کارشناس ارشد سازه‌های هیدرولیکی، دانشکده فنی و مهندسی، دانشگاه شهرکرد.  
۳- کارشناس ارشد سازه‌های هیدرولیکی، دانشکده فنی و مهندسی، دانشگاه شهرکرد.

\* نویسنده سئنتول: [mrtabari@eng.sku.ac.ir](mailto:mrtabari@eng.sku.ac.ir)

تاریخ پذیرش: ۱۳۹۳/۰۱/۲۹ تاریخ دریافت: ۱۳۹۱/۰۶/۰۴

## مقدمه

نفوذ و تبخیر، رابطه مانینگ و هندسه کانال به کار گرفته شده تا با کمینه کردن همزمان هزینه‌های تلفات آب، عملیات خاکی و پوشش کاری به طراحی بهینه مقطع کانال‌ها دست یافت.

### مواد و روش‌ها

برای دستیابی به هدف‌های این پژوهش لازم است هزینه‌های مرتبط با هر متر از طول یک کانال بتی که مشتمل بر هزینه‌های تلفات آب، تلفات نفوذ و پوشش کانال است به درستی تعریف شود.

### هزینه تلفات آب

تلفات آب از یک کانال شامل تلفات نفوذ و تبخیر است. تلفات نفوذ به هندسه کانال و تلفات تبخیر به سطح آزاد آب بستگی دارد. اگر جبران آبی که به یکی از این دو صورت به هدر می‌رود هزینه‌بر باشد، هزینه تلفات آب در طول دوره بهره‌برداری می‌تواند قابل توجه باشد (قذوا، ۲۰۱۱ و سوامی و همکاران، ۲۰۰۲a).

### تلفات نفوذ

با اینکه کانال‌ها به جهت حذف تلفات نفوذ، پوشش می‌شوند، اما در طول زمان و در اثر ترک‌های به وجود آمده همچنان تلفات نفوذ وجود دارد. پژوهش‌های واچیان و راشتون (۱۹۸۷) نشان می‌دهد که عمل پوشش کانال به طور کامل مؤثر نبوده و در یک کانال با پوشش ۹۹٪، فقط ۳۰ تا ۴۰ درصد تلفات نفوذ کاهش می‌یابد. پس تلفات نفوذ در کانال‌های پوشش‌دار نیز زیاد است. تلفات نفوذ را می‌توان با رابطه ۱ بیان کرد (سوامی و همکاران، ۲۰۰۲b):

$$(1) \quad q_s = k y_n F_s$$

رابطه بالا برای کانال در یک محیط متخلخل همگن، ایزوتropیک و هنگامی که تراز آب زیرزمینی در عمق بسیار زیاد باشد، بیان شده و در آن  $q_s$  تلفات ناشی از نفوذ آب در هر متر از طول کانال ( $m^2/m$ )،  $k$  ضریب هدایت هیدرولیکی ( $m/s$ )،  $y_n$  عمق نرمال کانال ( $m$ ) و  $F_s$  تابع بی بعد نفوذ که وابسته به هندسه کانال است. مقدار  $F_s$  با توجه به هندسه کانال و تراز سطح آب زیرزمینی قابل تخمین است. در این پژوهش برای تخمین مقدار  $F_s$

آب مایه حیات بوده و حفظ و نگهداری آن در جهت تأمین پایدار نیازهای آبی امری مهم است. با توجه به اینکه بخش زیادی از تلفات آب در شبکه‌های توزیع آب در سطح اراضی کشاورزی و کانال‌های انتقال آب است، بنابراین تدوین استراتژی مناسب در جهت طراحی بهینه کانال‌های مرتبط می‌تواند از اتلاف بخش زیادی از منابع آبی مورد استفاده جلوگیری کند (قذوا، ۲۰۱۱). از آنجا که کشور ایران دارای یکی از بزرگ‌ترین شبکه‌های آبی خاورمیانه (شبکه آبیاری ناحیه شمال خوزستان) است، از این جهت مستثنی نبوده و با توجه به نیاز ساخت سیستم‌های انتقال آب، حداقل کردن هزینه‌های مربوط به این سازه‌ها در اولویت کار مهندسان و کارفرمایان قرار دارد. از جمله سازه‌های پر کاربرد در سیستم‌های انتقال آب کانال‌های روباز بوده که با توجه به دبی طراحی، دارای ابعاد کوچک تا بزرگ هستند. در صورتی که منبع کانال از اراضی کشاورزی دور باشد هزینه‌های مذکور مهم‌تر هستند.

میزان نشت از کانال، به ضریب هدایت هیدرولیکی خاک بستر، هندسه کانال و موقعیت آب نسبت به سطح کانال بستگی دارد. کانال‌ها جهت کاهش نفوذ پوشش می‌شوند اما این پوشش هزینه‌بر بوده و به مرور زمان فرسوده شده و نشت از آن‌ها افزایش می‌یابد. پس میزان نفوذ باید در طراحی درنظر گرفته شود. از جمله هزینه‌های دیگر کانال، هزینه‌های مرتبط با عملیات خاکی و در صورت نیاز عملیات پوشش است. پژوهش‌های بسیاری در زمینه طراحی بهینه کانال در یک سیستم انتقال انجام شده است. از جمله این پژوهش‌ها می‌توان به بررسی‌های پریسمن (۱۹۵۷)، ایلینسکای و کاکیمو (۱۹۸۴) و کاکیمو (۱۹۹۲) در زمینه شکل و ابعاد بهینه کانال از نقطه نظر نشت، بررسی‌های واچیان و راشتون (۱۹۸۷) در زمینه طراحی کانال برای حداقل کردن تلفات آب از کانال، پژوهش‌های سوامی و همکاران (۲۰۰۱، ۲۰۰۰a، b و ۲۰۰۲) برای کمینه کردن هزینه‌های کانال و تلفات آب ناشی از تبخیر و نفوذ و نتایج بهینه‌سازی ابعاد کانال توسط قذوا (۲۰۱۱) در مصر برای کمینه کردن تلفات ناشی از نفوذ و تبخیر اشاره کرد. با توجه به اینکه در بررسی‌های قبلی اثرات تأمیم هزینه‌ها (پوشش و خاک‌برداری) و تلفات (نشت و تبخیر) دیده نشده است پس در این پژوهش مدلی بر پایه معادلات صریح تلفات

$$q_w = ky_n \left[ (4\pi - \pi^2)^{1.3} + (2m)^{1.3} \right]^{0.77} + 2my_n E \quad (6)$$

$$q_w = ky_n \left[ (4\pi - \pi^2)^{0.77} + \left( \frac{b}{y_n} \right)^{0.77} \right]^{1.3} + bE \quad (7)$$

$$q_w = ky_n \left[ \left( (4\pi - \pi^2)^{1.3} + (2m)^{1.3} \right)^{\frac{0.77+0.462m}{1.3+0.6m}} \right]^{\frac{1.3+0.6m}{1+0.6m}} + \left( b + 2my_n \right) E \quad (8)$$

با فرض زیاد بودن طول عمر کanal، هزینه تلفات آب با رابطه ۹ به دست می‌آید (سومامی و همکاران، ۲۰۰۲a).

$$C_w = \frac{3.156 \times 10^7 c_w}{r} (ky_n F_s + ET) \quad (9)$$

در این رابطه  $r$  نرخ بهره ( $Rial/Rial/year$ ) و  $c_w$  هزینه هر مترمکعب آب ( $Rial/m^3$ ) می‌باشد. هزینه‌های مربوط به تلفات نفوذ و تبخیر با توجه به محل متغیر می‌باشند، لذا معادله ۹ را می‌توان به صورت زیر ارائه کرد:

$$\begin{aligned} C_w &= c_{ws} y_n F_s + c_{we} T \\ c_{ws} &= \frac{3.156 \times 10^7 k c_w}{r} \\ c_{we} &= \frac{3.156 \times 10^7 E c_w}{r} \end{aligned} \quad (10)$$

#### هزینه عملیات خاکی

عملیات خاکی در پروژه‌های عمرانی یکی از پارامترهای پرهزینه است، با توجه به اینکه عملیات خاکی به مقطع کanal بستگی دارد، هزینه آن با رابطه ۱۱ به دست می‌آید (سومامی و همکاران، ۲۰۰۰a):

$$C_e = c_e A + c_e A \bar{y}_n \quad (11)$$

در این رابطه  $C_e$  هزینه عملیات خاکی برای یک متر طول کanal ( $Rial/m$ ) هزینه هر مترمکعب عملیات خاکی در سطح زمین ( $Rial/m^3$ )،  $c_e$  ضریب افزایش قیمت به ازای افزایش هر متر عمق کanal ( $Rial/m^4$ ) سطح مقطع مجرای کanal ( $m^2$ ) و  $\bar{y}_n$  فاصله مرکز سطح مجرای کanal از سطح آزاد آب است.

برای زمانی که تراز سطح آب زیرزمینی در عمق باشد، از رابطه ۲ برای مقاطع ذوزنقه‌ای، مثلثی و مستطیلی استفاده شد (قذوا، ۲۰۱۱ و سومامی و همکاران، ۲۰۰۱).

$$F_s = \left[ \left( (4\pi - \pi^2)^{1.3} + (2m)^{1.3} \right)^{\frac{0.77+0.462m}{1.3+0.6m}} \right]^{\frac{1.3+0.6m}{1+0.6m}} + \left( \frac{b}{y_n} \right)^{\frac{1+0.6m}{1.3+0.6m}} \quad (2)$$

در این رابطه  $m$ ، شب جانبی مقطع و  $b$ ، عرض کف کanal است.

#### تلفات تبخیر

تلفات تبخیر به دو عامل بستگی دارد؛ تأمین انرژی برای فراهم کردن گرمای نهان تبخیر و توانایی حمل بخار از سطح تبخیر که خود به سرعت باد روی سطح آب و گردیان رطوبت ویژه موجود در هوای بالای تراز سطح آب بستگی دارد. برای تخمین نرخ تبخیر از رابطه ۳ استفاده شد (قذوا، ۲۰۱۱ و سومامی و همکاران، ۲۰۰۱a و ۲۰۰۲a):

$$E = 2.262 \times 10^{-8} (1 + 0.25 u_2) \left[ \exp \left( \frac{17.27 \theta_w}{237.3 + \theta_w} \right) - R_h \exp \left( \frac{17.27 \theta_a}{237.3 + \theta_a} \right) \right] \quad (3)$$

در این رابطه  $E$  دبی تبخیر از واحد سطح آزاد آب ( $m^3/s.m^2$ )،  $\theta_w$  دمای سطح آب ( $^{\circ}C$ )،  $\theta_a$  متوسط دمای هوا ( $^{\circ}C$ ) و  $R_h$  رطوبت نسبی و  $u_2$  سرعت باد در ۲ متری است.

با توجه به مقدار  $E$  در رابطه ۳، تلفات تبخیر از کanal با رابطه ۴ بیان می‌شود (قذوا، ۲۰۱۱ و سومامی، ۲۰۰۱a و ۲۰۰۲a):

$$q_e = E \times T \quad (4)$$

در این رابطه  $T$  عرض سطح آب (متر) است. با توجه به رابطه ۱ و ۴، میزان کل تلفات آب برابر است با:

$$q_w = ky_n F_s + E \times T \quad (5)$$

با توجه به رابطه ارائه شده برای  $F_s$ ، مقدار  $q_w$  برای کanal‌های مثلثی، مستطیلی و ذوزنقه‌ای به ترتیب با رابطه‌های ۶، ۷ و ۸ بیان می‌شود (قذوا، ۲۰۱۱ و سومامی و همکاران، ۲۰۰۰a، b):

$$Q = \frac{\psi}{n} R^{\frac{2}{3}} S_0^{\frac{1}{2}} A \quad (14)$$

در این رابطه،  $Q$  دبی جریان ( $cms$ )،  $A$  سطح مقطع جریان ( $m^2$ )،  $R$  شعاع هیدرولیکی ( $m$ )،  $S_0$  شیب طولی کف کanal (بی بعد) و  $\psi$  ثابت سیستم اندازه گیری می باشد (در سیستم  $SI$  و انگلیسی به ترتیب برابر ۱ و  $1/486$  است).

#### قید سرعت

براساس دبی جریان، سرعت متوسط جریان محاسبه می شود. اگر سرعت آب کم باشد، رسوبات موجود در آب، فرصت تهشیمنی داشته و سبب افزایش تراز آب شده و در نهایت ظرفیت کanal را کاهش می دهد. از طرفی سرعت زیاد جریان می تواند کف و دیوارهای کanal را فرسایش دهد. بطوطرکلی در این پژوهش از رابطه هندوستان (رابطه ۱۵) برای بررسی حد پایین سرعت جریان در کanal استفاده شده است (بیرامی، ۱۳۸۸):

$$V_{min} = 0.41 y_n^{0.64} \quad (15)$$

#### قید عدد فرود

برای دستیابی به طراحی بهتر و دقیق تر لازم است که پارامترهای جریان با عدد فرود نیز کنترل شود. براساس تحقیقات مؤسسه USBR محدوده عدد فرود در کanal ها بین  $12-20/0$  پیشنهاد می شود.

#### تابع هدف و محدودیت های آن

تابع هدف، طراحی بهینه مقطع کanal به گونه ای که مجموع هزینه های هر متر از طول کanal تحت شرایط جریان یکنواخت حداقل شود، است. بنابراین می توان تابع هدف و محدودیت ها را به صورت رابطه های زیر بیان کرد.

$$Z = \min (cost) \quad (16)$$

$$\phi(y_n, b, m) = A^{\frac{5}{3}} P^{\frac{2}{3}} - SF = 0$$

$$V - 0.41 y_n^{0.64} \geq 0 \quad (17)$$

$$0.12 \leq V / \sqrt{gD} \leq 0.35$$

که در آن  $\phi$  قید مانینگ و تابعی از  $y$  (عمق نرمال)،  $b$  عرض سطح آب،  $m$  شیب جانی،  $A$  سطح مقطع جریان،  $P$  محیط تر شده،  $SF$  فاکتور سطح و  $D$

#### هزینه پوشش کanal

با توجه به نوع و جنس پوشش، می توان هزینه هر متر مربع از پوشش کanal را با  $C_L$  نمایش داد، در این صورت هزینه پوشش برای واحد طول کanal با رابطه ۱۲ بیان می شود (سومی و همکاران، ۲۰۰۰c):

$$C_L = c_L P \quad (12)$$

$$C_L = \left( \frac{Rial}{m} \right) \quad (12)$$

$$c_L = \left( \frac{Rial}{m^2} \right) \quad (12)$$

هزینه پوشش برای واحد سطح محیط تر شده است.

#### کل هزینه هر متر طول کanal

با توجه به رابطه های ۱۱ و ۱۲ هزینه هر متر از طول کanal به صورت رابطه ۱۳ می باشد (سومی و همکاران، ۲۰۰۰c):

$$Cost = C_w + C_e + C_L = c_{ws} F_s y_n + c_{we} T + c_e A + c_a A \bar{y} + c_L P \quad (13)$$

لازم به ذکر است که هزینه های مربوط به قیمت آب، عملیات خاکی و پوشش نسبت به زمان متغیرند. اما همان گونه که مشاهده می شود نسبت های  $c_{ws}/c_e$ ،  $c_{ws}/c_r$ ،  $c_e/c_r$ ،  $c_l/c_e$  دارای بعد طول بوده و مستقل از واحد پول انتخابی هستند. این نسبت ها را می توان برای انواع مختلف پوشش، لایه های خاک و شرایط آب و هوایی با استفاده از نسبت واحد مناسب محاسبه کرد.

#### ساختار مدل پیشنهادی

برای تعیین ابعاد بهینه کanal ها با توجه به متغیرهای تصمیم مسئله، لازم است ساختاری بر مبنای روابط حاکم بر تابع هدف و محدودیت ها تعریف شود. در این پژوهش تابع هدف عبارت است از تعیین مقطع بهینه کanal به طوری که هزینه های ناشی از تلفات آب، عملیات خاکی و پوشش کanal کم شود. برای دستیابی به این هدف، محدودیت هایی در قالب روابط زیر تعریف شود.

#### قید دبی جریان (رابطه مانینگ)

برای بهینه سازی ابعاد کanal، مقدار دبی جریان با رابطه مانینگ (رابطه ۱۴) محاسبه قرار می شود:

جواب اولیه  $x_{N \times 1}$  و اندازه شبکه برابر با  $m$  باشد. جوابهایی با استفاده از روابط ۱۸ در اطراف جواب اولیه تولید می‌شوند.

$$\begin{aligned}x_{N \times 1}^1 &= m \times [1 \ 0 \ 0 \ 0 \dots \ 0]_{N \times 1} + x_{N \times 1} \\x_{N \times 1}^2 &= m \times [0 \ 1 \ 0 \ 0 \dots \ 0]_{N \times 1} + x_{N \times 1} \\x_{N \times 1}^3 &= m \times [0 \ 0 \ 1 \ 0 \dots \ 0]_{N \times 1} + x_{N \times 1} \\&\vdots\end{aligned}\quad (18)$$

$$\begin{aligned}x_{N \times 1}^N &= m \times [0 \ 0 \ 0 \ 0 \dots \ 1]_{N \times 1} + x_{N \times 1} \\x_{N \times 1}^{N+1} &= m \times [-1 \ 0 \ 0 \ 0 \dots \ 0]_{N \times 1} + x_{N \times 1} \\x_{N \times 1}^{N+2} &= m \times [0 \ -1 \ 0 \ 0 \dots \ 0]_{N \times 1} + x_{N \times 1} \\x_{N \times 1}^{N+3} &= m \times [0 \ 0 \ -1 \ 0 \dots \ 0]_{N \times 1} + x_{N \times 1} \\&\vdots\end{aligned}\quad (18)$$

$$x_{N \times 1}^{2N} = m \times [0 \ 0 \ 0 \ 0 \dots \ -1]_{N \times 1} + x_{N \times 1}$$

ب) روش جستجوی مستقیم شبکه هیبریدی  
در این روش به تعداد  $N+1$  جواب با توجه به جواب اولیه و با الگوی مشخص با استفاده از روابط ۱۹ در اطراف جواب اولیه تولید می‌شوند.

با توجه به جوابهای تولیدی، مقدار تابع هدف برای هر یک محاسبه شده و با مقدار تابع هدف مربوط به جواب اولیه مقایسه می‌شود. چنانچه جوابی بهتر از جواب اولیه در بین مجموعه جوابهای تولید شده وجود داشته باشد مسیر حرکت مدل بهینه‌سازی از نقطه اولیه به نقطه‌ای خواهد بود که از نظر تابع هدف قابل قبول تر باشد.

$$\begin{aligned}x_{N \times 1}^1 &= m \times [1 \ 0 \ 0 \ 0 \dots \ 0]_{N \times 1} + x_{N \times 1} \\x_{N \times 1}^2 &= m \times [0 \ 1 \ 0 \ 0 \dots \ 0]_{N \times 1} + x_{N \times 1} \\x_{N \times 1}^3 &= m \times [0 \ 0 \ 1 \ 0 \dots \ 0]_{N \times 1} + x_{N \times 1} \\&\vdots\end{aligned}\quad (19)$$

$$\begin{aligned}x_{N \times 1}^N &= m \times [0 \ 0 \ 0 \ 0 \dots \ 1]_{N \times 1} + x_{N \times 1} \\x_{N \times 1}^{N+1} &= m \times [-1 \ -1 \ -1 \ -1 \dots \ -1]_{N \times 1} + x_{N \times 1}\end{aligned}$$

در این حالت اندازه شبکه با استفاده از ضریب انبساط افزایش می‌یابد و مدل فضای بیشتری را جستجو می‌کند. اما اگر جواب بهتری در فضای اولیه مشخص شده، یافت نشد با استفاده از ضریب انقباض و نوع روش جستجوی تعداد نقطه دیگری که به نقطه اولیه نزدیک‌تر باشند تولید می‌شود. این روند تولید مجموعه جوابها با استفاده از

عمق هیدرولیکی کanal می‌باشد. در این پژوهش، هدف تعیین عمق نرمال و عرض سطح آب برای شبکهای جانی متفاوت کanal‌ها، تحت قیود مسئله است به گونه‌ای که هزینه‌های هر متر از طول کanal‌ها حداقل شود. برای رسیدن به این هدف و رسیدن به ابعاد بهینه کanal‌ها استفاده از یک ابزار بهینه‌ساز ضروری است که در زیر به آن پرداخته می‌شود.

**ساختر ابزار بهینه‌سازی مورد استفاده**  
نحوه تعیین مقدار بهینه ابعاد کanal بر مبنای ساختار پیشنهادی با استفاده از الگوریتم بهینه‌سازی مبتنی بر جستجوی تصادفی می‌باشد. این روش بهدلیل سرعت اجرای بالا، دقت زیاد در دستیابی به جواب نزدیک به بهینه کلی و جستجوی کامل فضای تصمیم موجه<sup>۱</sup> در این پژوهش مورد توجه است. این روش از یک نقطه تصادفی در فضای موجه تصمیم (فضایی که در آن محدودیت‌های مدل بهینه‌سازی رعایت شده است) شروع شده و با استفاده از ضریب‌های انبساط و انقباض به سمت جواب بهینه کلی حرکت می‌کند. به بیان دیگر ابتدا فضای منطقی (موجه) متغیرهای تصمیم، ضریب‌های انبساط و انقباض و تعداد تکرارهای لازم برای دستیابی به جواب نزدیک به بهینه کلی مشخص می‌شود. سپس با توجه به محدودیت‌های مدل مدیریتی، یک جواب اولیه به صورت تصادفی ایجاد می‌شود. با توجه به نقطه اولیه و نوع روش جستجو، نقاطی حول جواب اولیه تولید می‌شود. از روش‌های جستجوی در این الگوریتم می‌توان به روش جستجوی الگوی تعمیم یافته (GPS)<sup>۲</sup> و روش جستجوی مستقیم شبکه هیبریدی (MADS)<sup>۳</sup> اشاره کرد که نحوه جستجوی هر یک جدایگانه ارائه می‌شود. در هر دو روش با توجه به تعداد متغیرهای تصمیم ( $N$ ) جواب‌هایی با الگوی مشخص در اطراف جواب اولیه تولید می‌شود. لازم به ذکر است فضای جستجوی این الگوریتم‌ها وابسته به تعداد متغیرهای تصمیم بوده و  $N$  بعدی است.

**الف) روش جستجوی الگوی تعمیم یافته**  
در این روش به تعداد  $2N$  جواب با توجه به جواب اولیه و با الگوی مشخص تولید می‌شود. به عبارت دیگر چنانچه

1- Feasible Decision Space

2- Generalized Pattern Search

3- Mesh Adaptive Direct Search

معلوم  $Q$ ،  $n$ ،  $m$ ،  $S_0$ ،  $k_E$ ، می‌توان ابعاد بهینه کanal مورد نظر را مشخص کرد. استخراج جواب مسئله در قالب نمودارهای بی بعد سبب ایجاد یک ارتباط گرافیکی مناسب بین پارامترهای معلوم و مجھول مسئله، بدون اجرای دوباره ساختار پیشنهادی می‌شود.

تدوین نمودارهای بی بعد براساس ابعاد بهینه کanalها با توجه به کاربرد نمودارهای بی بعد در طراحی سازه‌های هیدرولیکی، در این مطالعه ابعاد بهینه به دست آمده بر  $\lambda$  (که مقدار آن معادل  $SF^{0.375}$  و واحد آن طول ( $m$ ) است) تقسیم شده تا ابعاد کanal مطابق روابط زیر به صورت پارامترهای بی بعد درآیند:

$$b^* = \frac{b}{SF^{0.375}} \quad (20)$$

$$y^* = \frac{y_n}{SF^{0.375}} \quad (21)$$

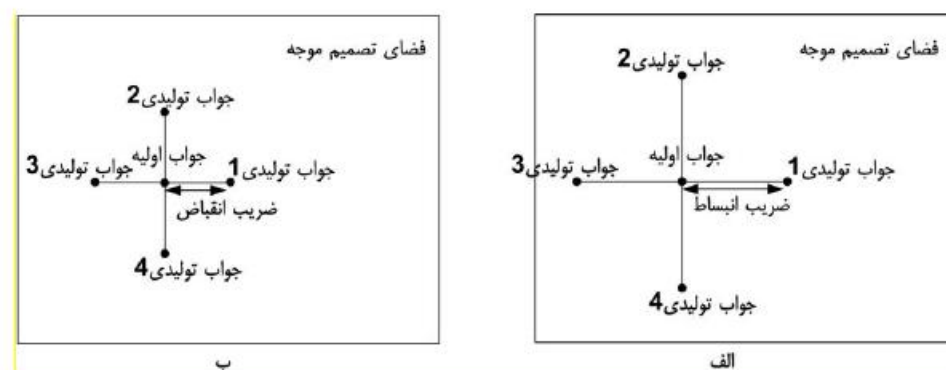
$$T^* = \frac{T}{SF^{0.375}} \quad (22)$$

براساس شکل‌های ۵ و ۶ پارامترهای بی بعد شده عرض سطح آب و عمق آب در برابر شیب‌های جانبی متفاوت کanalها را به ازای دبی‌های مختلف نشان می‌دهند. روش استفاده از نمودارهای بی بعد به این صورت است که ابتدا با تعیین مقدار شیب جانبی و دبی جریان و با توجه به شکل‌های ۵ و ۶، مقادیر  $b^*$ ,  $y^*$ ,  $T^*$  به دست می‌آید. سپس با داشتن  $S_0, n, Q$  مقدار  $SF$  محاسبه و در نهایت با رابطه‌های ۲۰ تا ۲۲ مقادیر  $b$ ,  $y$  و  $T$  هر کanal محاسبه می‌شود (شکل ۷).

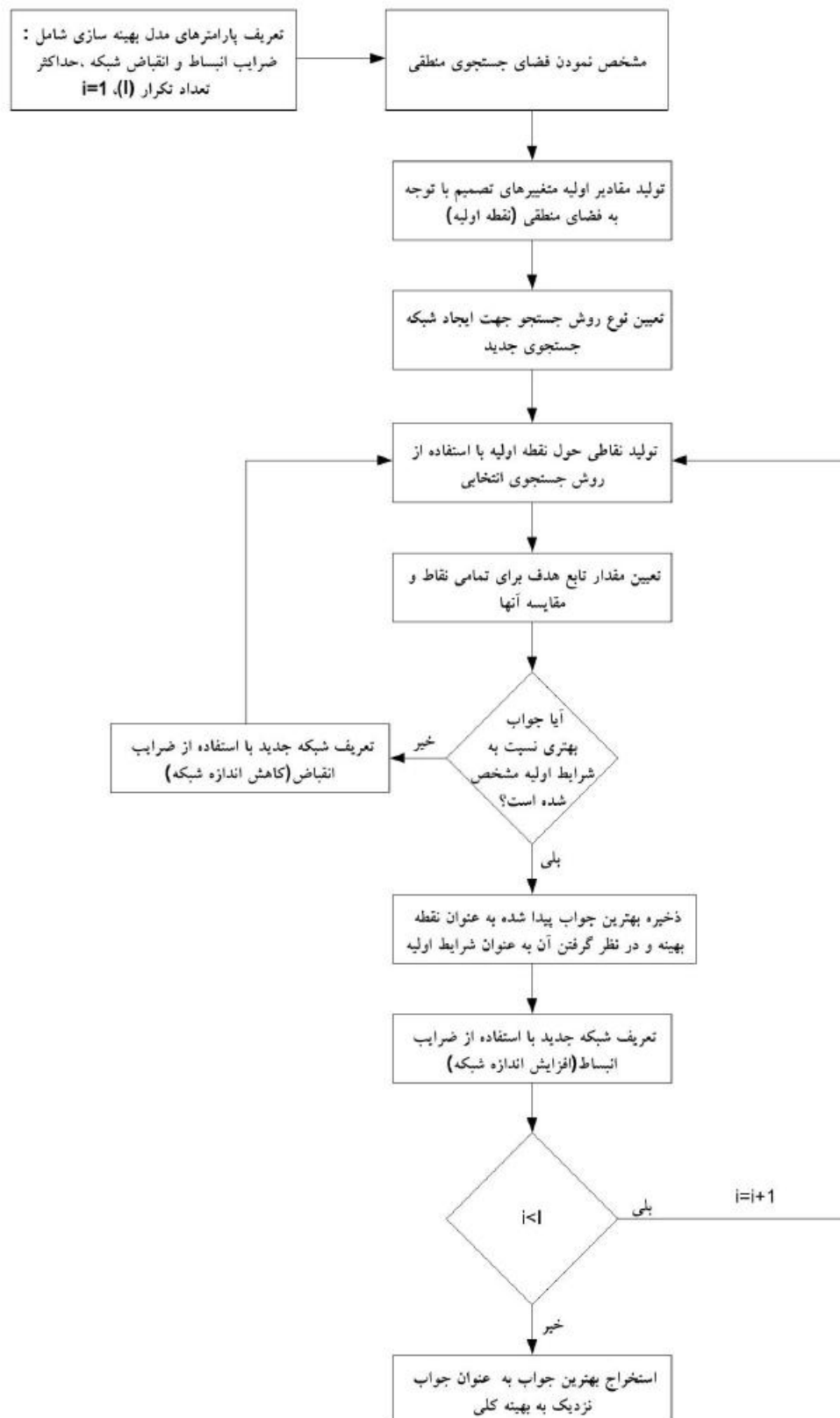
ضریب‌های انسیاط و انقباض تا زمانی ادامه می‌یابد که تغییری در جواب بهینه بدست آمده حاصل نشود. به عنوان نمونه چنانچه تعداد متغیرهای تصمیم برابر با ۲ باشد و به روش جستجو الگوی تعمیم یافته بررسی گردد، می‌توان براساس شکل ۱ ضریب‌های انسیاط و انقباض را برای دستیابی به مقدار نزدیک به بهینه کلی اعمال کرد. نحوه همگرایی به جواب بهینه با استفاده از این الگوریتم را می‌توان در شکل ۲ مشاهده کرد. برای بررسی بیشتر در خصوص الگوریتم بهینه‌سازی مبتنی بر جستجوی مستقیم می‌توان به مقالات لوثیس و تورسزن (۲۰۰۲)، رافائل و اسمیت (۲۰۰۳) و اودت و دنیس (۲۰۰۳) مراجعه کرد.

## نتایج و بحث

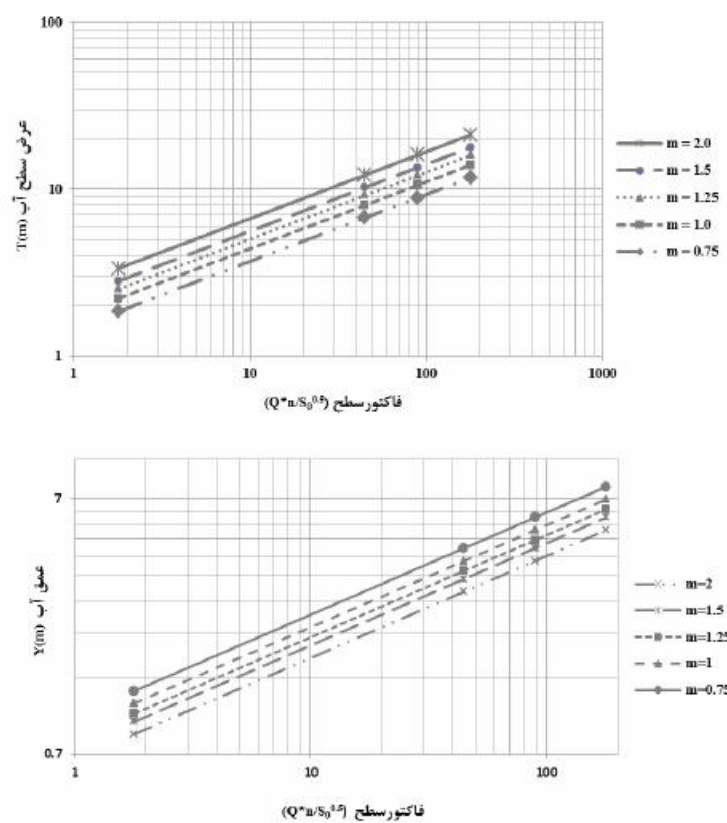
هدف از این پژوهش یافتن ابعاد هندسی کanal با توجه به کمترین میزان هزینه است. مقطع‌های مورد بررسی ذوزنقه‌ای، مستطیلی و مثلثی هستند. برای تعیین مقادیر بهینه ابعاد کanal، با استفاده از ابزار بهینه‌ساز برای هر مقطع برنامه‌ای به صورت جداگانه تهیه شد که متغیرهای تصمیم آن برای مقطع ذوزنقه، مثلثی و مستطیلی به ترتیب  $(b, y, T), (y, b), (y, T)$  می‌باشد. بر این اساس، ساختار پیشنهادی برای حالت‌های مختلفی از نسبت ضریب نفوذپذیری بتن به دبی تبخیر  $(k_E = 0.5, 1, 2, 5)$ ، شیب جانبی و دبی اجرا و مقادیر بهینه آن‌ها برای هر مقطع ذخیره شد. براساس خروجی مدل‌های اجرا شده، شکل‌های ۳ و ۴ برای تعیین ابعاد بهینه کanal تهیه شد. بدین منظور با توجه به مقادیر



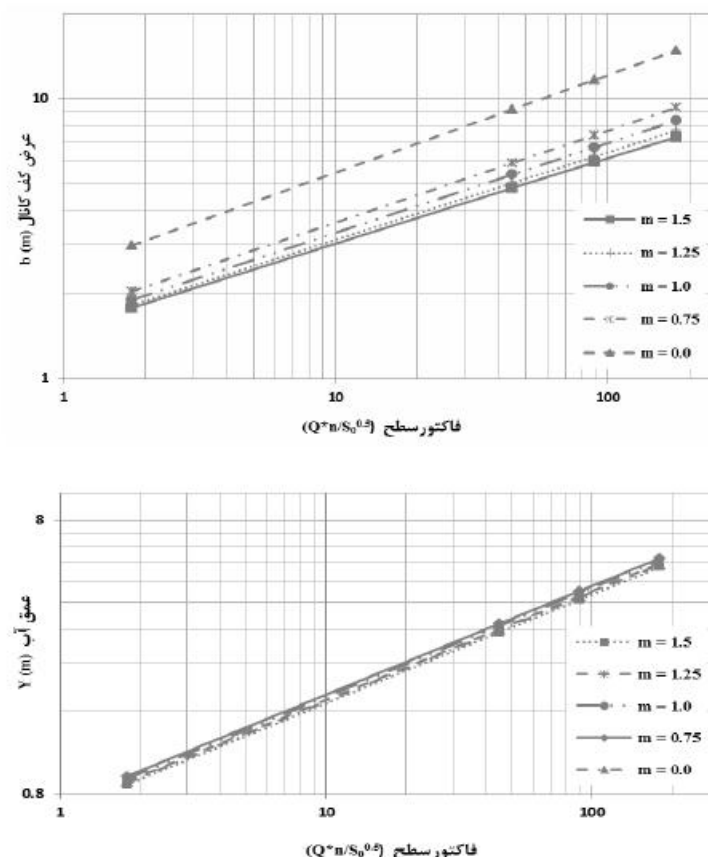
شکل ۱ نحوه اعمال ضریب‌های انسیاط و انقباض در تولید مجموعه جواب تصادفی (محمد رضاپور طبری، ۱۳۸۸)



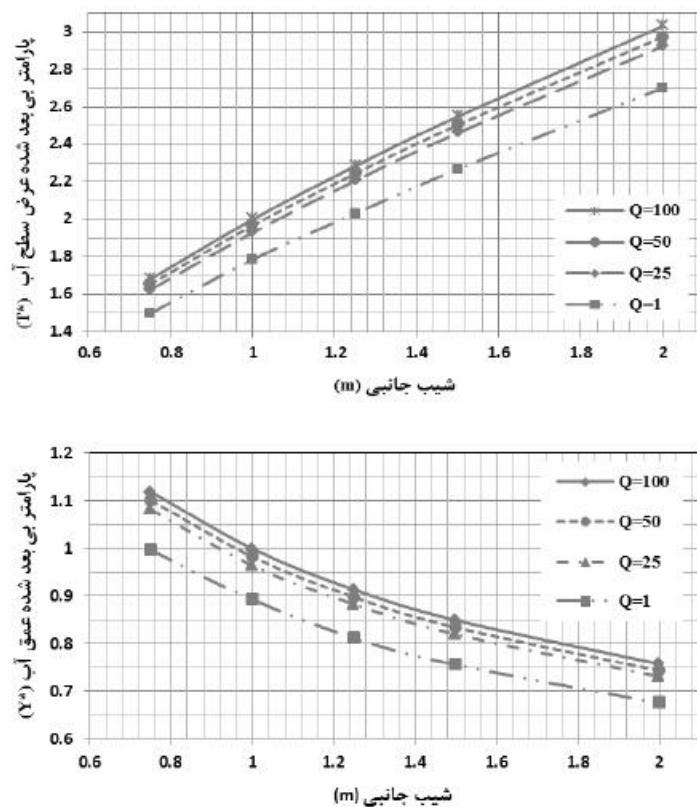
شکل ۲ ساختار مدل بهینه‌سازی مبتنی بر الگوریتم جستجوی مستقیم (محمد رضاپور طبری، ۱۳۸۸)



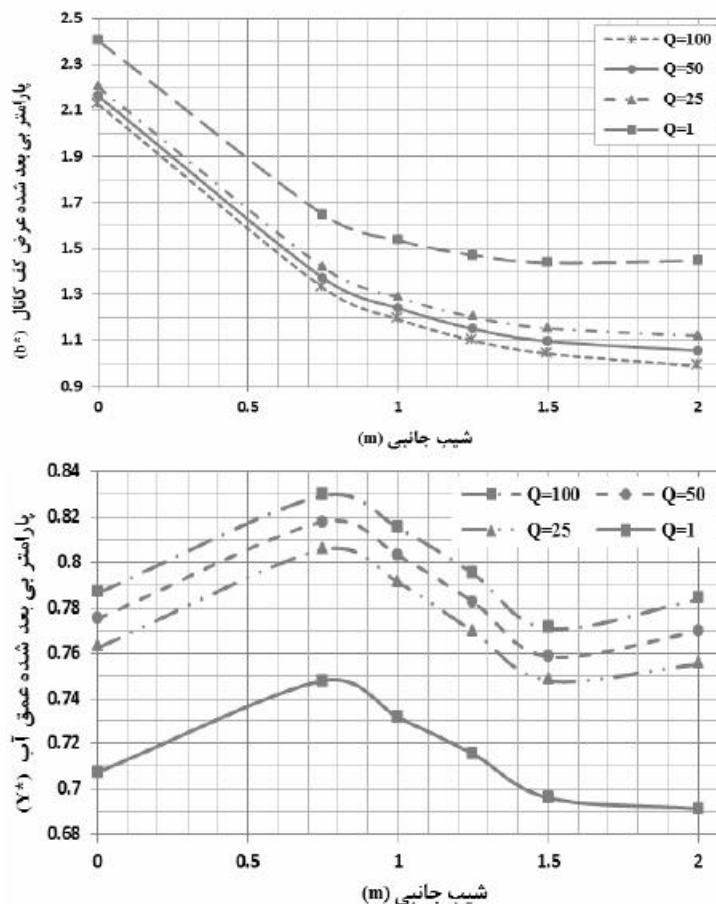
شکل ۳ نمودار عرض و عمق سطح آب در گانال مثلثی در برابر فاکتور سطح در شیب‌های جانبی مختلف



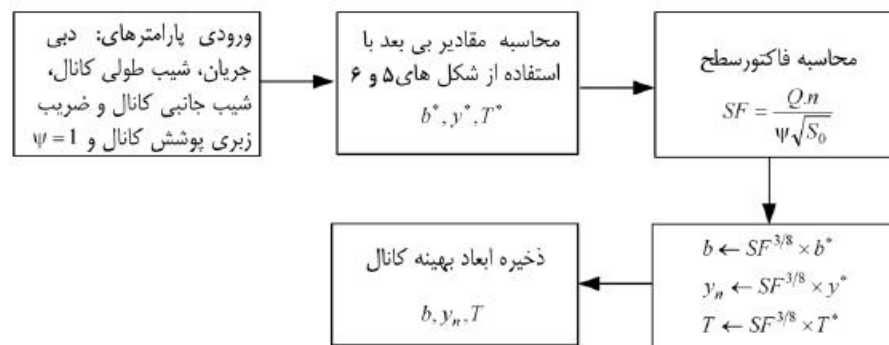
شکل ۴ نمودار عرض کف و عمق آب در گانال ذوزنقه‌ای در برابر فاکتور سطح در شیب‌های جانبی مختلف



شکل ۵ نمودار عرض سطح آب و عمق آب بی بعد شده در برابر شیب جانبی برای گانال های مثلثی



شکل ۶ نمودار عرض کانال و عمق آب بی بعد شده در برابر شیب جانبی برای گانال های ذوزنقه ای در دبی های مختلف



شکل ۷ الگوریتم تعیین مقادیر بهینه ابعاد کanal برای نمودارهای بی بعد تولید شده

$$b = b^* \times \left[ SF^{\frac{3}{8}} \right] = 2.35 \times 1.82 = 4.27 \text{ m} \approx 4.3 \text{ m}$$

$$y = y^* \times \left[ SF^{\frac{3}{8}} \right] = 0.725 \times 1.82 = 1.32 \text{ m}$$

برای بررسی نتایج حاصل از این پژوهش با نتایج قداوا (۲۰۱۱)، نمونه‌هایی برای دو کanal مستطیلی و ذوزنقه‌ای حل شد که ابعاد بهینه کanalها در جدول‌های ۱ و ۲ ارائه شده است. نکته اینکه در بررسی قداوا (۲۰۰۱) برای سرعت بخشیدن به محاسبات، مقادیر بیشینه عمق نرمال و عرض کف کanal با رابطه‌های زیر مشخص شده‌اند.

$$y_{\max} = 2^{0.25} \times \frac{(1+m^2)^{\frac{1}{8}}}{m^{\frac{5}{8}}} \times SF^{\frac{3}{8}} \quad (23)$$

$$y^* = \frac{y_n}{SF^{0.375}} \quad (24)$$

### مثال‌های طراحی

در این پژوهش برای آشنایی هرچه بیشتر کاربرد نمودارهای مذکور برای به دست آوردن ابعاد بهینه کanal یک مثال عددی بیان شد. این مثال مشابه مثال مطرح شده توسط قداوا (۲۰۱۱) می‌باشد.

مثال: تعیین ابعاد بهینه کanal مستطیلی با توجه به پارامترهای معلوم زیر:

$$Q = 6.25 \text{ cms}, S_0 = 0.0004, n = 0.016,$$

$$E = 3 \frac{m}{year}, k = 1.5 \frac{m}{year}$$

$$\text{حل: } \frac{k}{E} = 0.5, Q = 6.25 \frac{m^3}{s}, m = 0.0$$

شکل ۷، مقادیر  $y^*, b^*$  برابر است با:

$$b^* = 2.35 \text{ m}, y^* = 0.725 \text{ m},$$

$$SF = \frac{6.25(0.016)}{\sqrt{0.0004}}$$

جدول ۱ مقایسه ابعاد کanal حاصل از این پژوهش با نتایج به دست آمده از قداوا (۲۰۱۱)

نتایج این پژوهش				مشخصات کanal	
نتایج قداوا (۲۰۱۱)					
ذوزنقه‌ای	مستطیلی	ذوزنقه‌ای	مستطیلی		
۶/۲۵				$Q(\text{cms})$	دبی کanal
۰/۰۱۶				$n$	ضریب زبری
۰/۰۰۰۴				$S$	شیب طولی کanal
۳				$E(\frac{m}{year})$	میزان تبخیر
۱/۵				$k(\frac{m}{year})$	هدایت هیدرولیکی کanal
۰/۵	۰	۰/۵	۰	$m$	شیب جانبی
۲/۳۷	۴/۳	۱/۵	۲/۴۴	$b(m)$	عرض کف کanal
۱/۳۷	۱/۳۲	۲/۱۳	۲/۳۵	$y(m)$	عمق کanal

جدول ۲ مقایسه سرعت و عدد فرود حاصل از این پژوهش با نتایج به دست آمده از قداوا (۲۰۱۱)

$Q(cm^3)$	$A(m^2)$	$V\left(\frac{m}{s}\right)$	$T(m)$	$D(m)$	$F_T$	قطعه	نتایج
۶/۲۵	۵/۷۳	۱/۰۹	۲/۴۴	۲/۳۵	۰/۲۳	مستطیلی	قداوا (۲۰۰۱)
۶/۲۵	۵/۴۶	۱/۱۴	۳/۶۳	۱/۵۱	۰/۳۰	ذوزنقه‌ای	
۶/۲۵	۵/۶۸	۱/۱۰	۴/۳۰	۱/۳۲	۰/۳۱	مستطیلی	
۶/۲۵	۵/۵۶	۱/۱۳	۴/۷۴	۱/۱۷	۰/۳۳	ذوزنقه‌ای	این پژوهش

کanal سبب افزایش تلفات تبخیر نسبت به طراحی با روش قداوا (۲۰۱۱) می‌شود. این افزایش نشان می‌دهد که حساسیت هزینه‌ها در عملیات خاکی خلاصه می‌شود. به عبارت دیگر در این پروژه مقدار تلفات آب به تنها‌ی هدف نیست بلکه حداقل کردن هزینه‌های مربوط به عملیات خاکی، پوشش کاری و تلفات آب با یکدیگر در نظر گرفته می‌شوند. بنابراین زمانی که هزینه‌های خاکبرداری و خاکریزی نسبت به هزینه تلفات آب زیاد باشد، هزینه تلفات آب مهم شده و تلاش بر کاهش عملیات خاکی می‌شود.

- بررسی عده‌های فرود و سرعت‌ها مشاهده می‌شود که تغییرات سرعت‌ها چندان محسوس نبوده ولی افزایش عدد فرود برای کاهش رسوب‌گذاری در کanal توصیه می‌شود.

- نتایج به دست آمده از روند بهینه‌سازی و بی‌بعدسازی نشان داد که با افزایش مقدار شیب جانبی در کanal مثلثی عمق کاهش و مقدار عرض سطح آب افزایش خواهد یافت. این در حالی است که در مقطع ذوزنقه‌ای با افزایش مقدار شیب جانبی، مقدار عرض سطح آب کاهش یافته و عمق کanal ابتدا تا شیب جانبی ۰/۷۵ افزایش و سپس از شیب جانبی ۰/۷۵ تا در حدود ۱/۵، کاهش و درنهایت از شیب جانبی ۱/۵ به بعد دوباره افزایش می‌یابد.

- کanal ذوزنقه‌ای با دبی مشخص در شیب جانبی ۰/۷۵ دارای بیشترین و در شیب جانبی ۱/۵ دارای کمترین عمق نرمال است. این در حالی است که عرض سطح آب در شیب‌های جانبی کمتر مقدار بیشتری دارد.
- در طراحی یک کanal مثلثی با یک دبی مشخص می‌توان گفت که عمق نرمال کanal در شیب‌های جانبی بیشتر دارای مقدار کمتری است در حالیکه عرض سطح آب در این حالت افزایش می‌یابد.

برای تعیین ابعاد کanal، معلوم بودن دبی، ضریب زبری پوشش، شیب جانبی، شیب طولی کanal و نسبت میزان شاخص تبخیر به ضریب نفوذپذیری بدنه لازم است. براساس پارامترهای بالا، مقادیر بی بعد شده عمق، عرض کف کanal و مقدار فاکتور سطح به توان ۰/۳۷۵ محاسبه شده و براساس نمودارهای بی بعد دو روش، مقادیر عمق و عرض کف کanal به دست می‌آید. به طور کلی برتری این پژوهش نسبت به بررسی قداوا (۲۰۱۱)، دید کلی و اقتصادی حاکم در طراحی کanal است چراکه در پروژه‌های بزرگ با طول عمر بالا یکی از مهم‌ترین پارامترهای تعیین‌کننده، محدودیت هزینه‌ها است که در صورت عدم توجه به آن می‌تواند سبب شکست پروژه و نرسیدن به هدف‌های طرح شود. اگرچه این پژوهش و قداوا (۲۰۱۱) تلاش بر یافتن عمق و عرض کف بهینه کanal را دارند، ولی این پژوهش تلاش بر اشراف کلی بر قیود حاکم و کلیه هزینه‌های مربوط به هر متر از طول کanal دارد. این در حالی است که در بررسی قداوا (۲۰۱۱) با تکیه بر قیود کمتر تلاش بر به کمینه رساندن تلفات آب از کanal است. اگرچه با کم کردن این تلفات، هزینه مربوط به آن نیز کاسته می‌شود ولی هزینه‌های مرتبط با عملیات خاکی و پوشش تغییری نمی‌کند. با مقایسه نتایج این پژوهش و بررسی قداوا (۲۰۱۱) می‌توان تأثیر قیود بیشتر و هزینه‌های مربوط به عملیات خاکی و پوشش را در ابعاد نهایی کanal مشاهده کرد.

### نتیجه‌گیری

به طور کلی از این پژوهش می‌توان نتایج زیر را در نظر گرفت:

- با مقایسه عده‌های به دست آمده برای عمق و عرض کف کanal در کanal‌های مستطیلی و ذوزنقه‌ای، مشاهده می‌شود افزایش عرض کanal نسبت به عمق

- Canal Sections. *Journal of Irrigation and Drainage Engineering*. 126(1):28-32.
12. Swamee P. K. Mishra G. C. and Chahar B. R. 2000 c. Minimum cost design of lined canal sections. *Water Resources Management*. 14(1):1-12.
13. Swamee P. K. Mishra G. C. and Chahar B. R. 2001. Design of minimum Seepage Loss Canal Sections with Drainage Layer at Shallow Depth. *Journal of Irrigation and Drainage Engineering*. 127(5):287-294.
14. Swamee P. K. Mishra G. C. and Chahar B. R. 2002 a. Design of minimum water-loss canal sections. *Journal of Hydraulic Research*. 40(2):215-220.
15. Swamee P. K. Mishra G. C. and Chahar B. R. 2002 b. Optimal Design of Transmission Canal. *Journal of Irrigation and Drainage Engineering*. 128(4):234-243.
16. Wachyan E. and Rushton K. R. 1987. Water losses from irrigation canals. *Journal of Hydrology*. 92(3-4):275-288.

• به طور کلی می‌توان گفت که در این پژوهش طراحی یک کanal با مشخصات مشابه در دو منطقه متفاوت (از جمله منطقه‌های کوهستانی و منطقه‌های دشتی) به صورت یکسان انجام نمی‌شود. این امر ناشی از تفاوت هزینه‌ها است که خود تابع شرایط آب و هوایی و زمین‌شناسی هر منطقه است. همچنین با توجه به نتایج این پژوهش می‌توان دریافت که تفاوت هزینه‌ها از جمله هزینه عملیات حاکی در منطقه‌های مختلف سبب طراحی کanal مناسب‌تر و کم هزینه‌تر می‌شود.

#### منابع

1. بیرامی م. ک. ۱۳۸۸. طراحی سازه‌های انتقال آب. انتشارات دانشگاه صنعتی اصفهان. ۴۶۲ ص.
2. محمد رضاپور طبری م. ۱۳۸۸. مدل‌سازی بهره‌برداری تلفیقی بر پایه عدم دقت در مقیاس منطقه‌ای. رساله دکتری دانشکده عمران آب و محیط‌زیست. دانشگاه صنعتی امیرکبیر تهران. ۱۹۵ ص.
3. Audet C. and Dennis Jr J. E. 2003. Analysis of Generalized Pattern Searches. *SIAM Journal on Optimization*. 13(3):889-903.
4. Ghazaw Y. M. 2011. Design and analysis of a canal section for minimum water loss. *Alexandria Engineering Journal*, doi:10.1016/j.aej.2011.12.002.
5. Il'yinsky N. B. and Kacimov A. R. 1984. Seepage-limitation optimization of the shape of an irrigation channel by the inverse boundary value problem method. *Journal of Fluid Dynamics*. 19(4):404-410.
6. Kacimov A. R. 1992. Seepage optimization for trapezoidal channel. *Journal of Irrigation and Drainage Engineering*. 118(4):520-526.
7. Lewis R. M. and Torczon V. 2002. A Globally Convergent Augmented Lagrangian Pattern Search Algorithm for Optimization with General Constraints and Simple Bounds. *SIAM Journal on Optimization*. 12(4):1075-1089.
8. Preissmann A. 1957. A propos de la filtration au-dessous des canaux. *Houille Blanche*. 12:181-188 (in French).
9. Raphael B. and Smith I. F. C. 2003. A direct stochastic algorithm for global search. *Applied Mathematics and Computation*. 146:729-758.
10. Swamee P. K. Mishra G. C. and Chahar B. R. 2000 a. Comprehensive Design of Minimum Cost Irrigation Canal Sections. *Journal of Irrigation and Drainage Engineering*. 126(5):322-327.
11. Swamee P. K. Mishra G. C. and Chahar B. R. 2000 b. Design of Minimum Seepage Loss